

## بررسی رفتار سیال در یک بستر پرشده ثابت با استفاده از دینامیک سیالات محاسباتی

علیرضا میراولیایی<sup>\*</sup>، فرهاد شهرکی<sup>۲</sup>

<sup>۱</sup> گروه مهندسی شیمی دانشگاه محقق اردبیلی، اردبیل

<sup>۲</sup> گروه مهندسی شیمی دانشگاه سیستان و بلوچستان، زاهدان

دریافت: ۹۳/۵/۶ پذیرش: ۹۳/۱۲/۶

### چکیده

در این تحقیق رفتار سیال در یک بستر پرشده ثابت با نسبت قطر لوله به قطر ذره برابر ۴/۶ با استفاده از دینامیک سیالات محاسباتی بررسی شد. هندسه بستر با استفاده از روش پرکن گسسته مدل شد. شبیه سازی های CFD در گستره عدد رینولدز  $3/85-611/79$  در رژیم جریان آرام و آشفته انجام شدند. در رژیم جریان آشفته از مدل آشفتگی  $k-\epsilon$  RNG استفاده شد. مشاهده شد که جریان سیال در فاصله ۰/۷۵ سانتی متر از ابتدای بستر توسعه یافته می شود. نتایج شبیه سازی های CFD با روابط تجربی موجود در مراجع مقایسه شدند. مقادیر افت فشار پیش بینی شده در رژیم جریان آرام به دلیل اثرات دیوار بیشتر از رابطه Ergun و در رژیم جریان آشفته بدلیل راه گزینی جریان در بستر کمتر از رابطه Ergun تخمین زده شدند. نتایج CFD افت فشار همخوانی خوب با روابط Zhavoronkov و همکارانش و Reichelt نشان دادند.

**کلمات کلیدی:** بستر پرشده ثابت، دینامیک سیالات محاسباتی، رفتار سیال، مدل پرکن گسسته

### مقدمه

جریان سیال از بین ذرات جامد پدیده ای رایج در طبیعت می باشد. سیستم های سیال- جامد، مثل راکتورهای بستر ثابت، راکتورهای بسط یافته و راکتورهای سیاله شده، بطور وسیع در صنایع شیمیایی و بیوشیمیایی استفاده می شوند. پیچیدگی جریان در بسترها ثابت مانع از درک دقیق ساختار جریان در خلل و فرج بین ذرات شده است.

طراحی موثر و کارآمد تجهیزات فرآیند با در نظر گرفتن توزیع مناسب جریان سیال درون سیستم می تواند انرژی و مواد را بطور مناسب انتقال دهد. توزیع مناسب جریان درون بستر کاتالیستی تابع ظرفیت، جهت جریان و مقاومت اعمال شده توسط صفحات نگه دارنده بستر کاتالیستی می باشد. مقاومت بستر کاتالیستی

\*armiroliaci@uma.ac.ir

را با انتخاب مناسب اندازه ذرات می‌توان کنترل کرد. حرکت مطلوب سیال با مهار کردن نیروهای فشاری، گرانشی، سطحی یا به کار بردن اجزاء چرخشی-حرکتی به دست می‌آید. در واقع، هزینه‌های سرمایه‌گذاری و شرایط رقابتی باعث شده تا فرآیندهای آتی هزینه کمتر برای ساخت و عملکرد، مصرف کمتر انرژی و مواد خام، کمترین مقدار ضایعات تولید شده، اینمی بیشتر و خطر کمتر برای محیط زیست داشته باشند. همچنین تجهیزات موجود برای بهبود عملکردشان نیاز به آنالیز دقیق و طراحی مجدد دارند. برای به دست آوردن این اهداف، دینامیک سیالات محاسباتی<sup>۱</sup> (CFD) یکی از تکنولوژی‌های توانمند می‌باشد.

دینامیک سیالات محاسباتی روشی برای حل مدل‌های ریاضی جریان سیال به کمک کامپیوتر است. CFD قادر به تامین اطلاعات کاملی از فرآیندهای جریان و فرآیندهای انتقال حرارت و انتقال جرم می‌باشد. CFD به مهندسان فرآیند این امکان را می‌دهد تا درک و پیش‌بینی درستی از جریان سیال در تجهیزات فرآیند به دست آورند و طراحی را تغییر دهند. اگر چه CFD به طور کامل نمی‌تواند جایگزین کارهای آزمایشگاهی و یا روش‌های متداول استفاده شده در مدل‌سازی فرآیندهای شیمیایی شود، اما پتانسیل بسیار بالایی برای بهبود مدل‌سازی‌های انجام شده دارد. کاربرد CFD منجر به کوتاه‌تر شدن مسیرهای پیش‌بینی شده برای تولید محصول، بهینه سازی فرآیندهای موجود برای بهبود راندمان انرژی و طراحی مناسب فرآیندها و محصولات جدید می‌شود [۱].

اثر هندسه بستر روی مقاومت اصطکاکی تحت شرایط جریان آشفته توسط Tobis [۲]، بررسی شد. بررسی-ها به طریق آزمایشگاهی و عددی با هوا روی ۶ مدل در آرایش مکعبی انجام شدند. از مدل‌های آشفتگی k-ε استاندارد، Spalart and Allmaras و مدل‌های تنش رینولدز برای مقایسه پیشگویی‌های مقاومت اصطکاکی مدل‌ها استفاده شد. این مقایسه‌ها همخوانی قابل قبولی را با یکدیگر نشان دادند. همچنین Tobis بیان کرد که روش CFD نسبت به رابطه نیمه تجربی Ergun عمومی‌تر می‌باشد. Zeiser و همکارانش [۳]، رفتار جریان را درون هندسه‌های پیچیده با استفاده از روش شبکه بولتزمن<sup>۲</sup> بررسی کردند. شبیه سازی‌ها در سه شکل مختلف با ذرات کروی،  $N = 5$ ،  $N = 6$  و  $N = 10$  انجام شد. نتایج شبیه سازی آنها اثرات راه گزینی جریان نزدیک دیوار را نشان داد که در آزمایشات مشاهده شدند. Dixon و Nijemeisland [۴]، مدل‌های موجود برای شبیه سازی راکتورهای گاز-جامد را برای بهبود پروفیل‌های سرعت و دما درون بستر بر اساس تجزیه و تحلیل میدان‌های جریان درون آنها توسعه دادند. شبیه سازی‌های CFD با  $N = 2$  و  $N = 4$  انجام شد. آنها مشاهده کردند که در نزدیک نقاط تماس ذرات با یکدیگر جریان چرخشی ایجاد می‌شود. Calis و همکارانش [۵]، افت فشار و ضریب درگ را در کانال‌های مربعی با  $N = 1$  و  $N = 2$  که شامل ۸ و ۴۰ ذره کروی بودند، با استفاده از CFX 5.3 شبیه سازی کردند. مقادیر به دست آمده از شبیه سازی CFD همخوانی خوبی با اندازه گیری‌های آزمایشگاهی LDA نشان داد. افت فشار ایجاد شده بر اثر جریان سیال توسط Tobis [۶]، به طریق آزمایشگاهی و شبیه سازی CFD بررسی شد. مدل آزمایشگاهی شامل ۸۰۰۰ ذره کروی به قطر ۳۸ میلی متر با آرایش مکعبی بود. اندازه گیرهای

<sup>1</sup> Computational Fluid Dynamics

<sup>2</sup> Lattice Boltzmann Method

افت فشار با هوا در رینولدز ۱۲۰۰ انجام شد. آن‌ها نشان دادند، مدل‌های جریان که بر اساس رابطه تجربی به دست آمده‌اند، نمی‌توانند به تنهاًی برای طراحی شکل‌های جدید استفاده شوند. اما در صورتی که با کد CFD مناسب ترکیب شوند، قادر به پیشگویی جریان در هندسه‌های پیچیده و بزرگ خواهند بود. Freund و همکارانش [۷]، روش شبکه بولتزمن را برای حل میدان جریان در راکتورهای بستر ثابت با  $N = 4$  و  $N = 5$  استفاده کردند. گستره عدد رینولدز بررسی شده بین  $100 \times 10^3$  بود. آنها برای تأیید رفتار جریان، افت فشار درون بستر را با نتایج و روابط موجود در مراجع مقایسه کردند. نتایج شبیه سازی‌هایشان همخوانی خوب با روابط افت فشار و اندازه گیری‌های آزمایشگاهی نشان داد. Magnico [۸]، بستر پر شده با  $N = 5.96$  و  $N = 7.8$  را برای بررسی هیدرودینامیک و خواص انتقال شبیه‌سازی کرد. نتایج عددی افت فشار همخوانی خوب با رابطه Ergun در عدد رینولدز بین  $100 \times 10^3$  نشان داد.

بعضی از محققان به جای بررسی تمام بستر یا قسمتی از بستر پر شده، فقط یک جفت از ذرات را بررسی کردند، که روش سلول واحد نامیده می‌شود. Gunjal و همکارانش [۹]، آرایش ذرات کروی را با روش سلول واحد بررسی کردند. آن‌ها پیشگویی‌های CFD را با داده‌های آزمایشگاهی موجود در مراجع برای گستره رینولدز بین  $17 \times 10^3$  تا  $204 \times 10^3$  مقایسه کردند. مشاهده کردند که نتایج شبیه سازی‌ها همخوانی خوب با داده‌های آزمایشگاهی بجز عدد رینولدز  $17 \times 10^3$  نشان می‌دهد که به دلیل مشکلات موجود در ایجاد جریان پایدار در شدت جریان خیلی کم می‌باشد. Reddy و همکارانش [۱۰]، افت فشار و ضریب درگ در بسترهای ثابت و بسط یافته با  $N = 5$  را با استفاده از CFD محاسبه کردند. نتایج Ergun را با معادله Ergun در شرایط جریان آرام و آشفته مقایسه کردند. آن‌ها مشاهده کردند که در حالت جریان آرام، افت فشار نسبت به معادله Ergun به دلیل اصطکاک دیوار افزایش می‌یابد و در حالت جریان آشفته، افت فشار نسبت به معادله Ergun به دلیل راه گزینی جریان نزدیک دیوار کاهش می‌یابد.

در این تحقیق، رفتار سیال در یک بستر پرشده ثابت به دلیل تاثیر مستقیم جریان سیال روی انتقال حرارت و انتقال جرم و در نتیجه روی راندمان کل مورد بررسی قرار می‌گیرد. شبیه سازی‌ها در حالت سه بعدی با استفاده از مدل پرکن گستته<sup>۱</sup> (DPM) به کمک دینامیک سیالات محاسباتی انجام شدند.

## بسترهای پرشده ثابت<sup>۲</sup>

در فرآیندهای شیمیایی، اغلب بسترهای پرشده ثابت در سیستم‌های کاتالیستی با عنوان راکتورهای بستر ثابت استفاده می‌شوند. این بسترهای ابتدا برای انجام واکنش‌های فاز گاز در ساخت مواد، فرآیندهای احتراق و عملیات تصفیه فاضلاب استفاده شدند. در حال حاضر، اکثر فرآیندهای کاتالیستی صنعتی فاز گاز در این بسترهای انجام می‌شوند. تعدادی از فرآیندهای کاتالیستی که در بسترهای ثابت انجام می‌شوند، در جدول ۱ ذکر شده‌اند [۱۱].

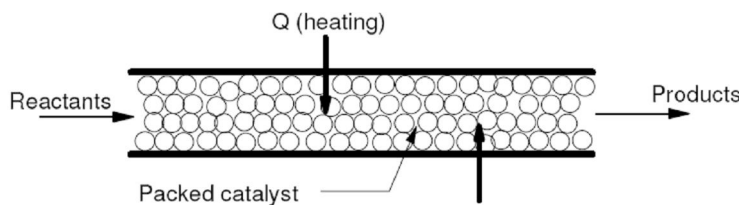
<sup>1</sup> Discrete Packing Model

<sup>2</sup> Fixed bed reactors

### جدول ۱. برخی فرآیندهای کاتالیستی انجام شده در بسترهای پرشده ثابت [۱۱]

پالایش نفت	صنایع پتروشیمی	صنایع شیمیایی اصلی
تبدیل کاتالیستی	اکسید اتیلن	ریفرمینگ
ایزومریزاسیون	وینیل استات	تبدیل مونواکسید کربن
پلیمریزاسیون	مالیک اندیرید	سنتر آمونیاک
هیدروکرایکینگ	فتالیک اندیرید	سنتر اسید سولفوریک
سولفورزدایی	استایرن	سنتر متانول

در بسترهای پرشده ثابت، واکنش های شیمیایی روی سطوح ذرات کاتالیست انجام می شوند. بر اساس طبیعت واکنش ها، عموماً حرارت از طریق دیواره لوله توسط مشعل های بیرونی تامین می شود، یا به وسیله ژاکت های خنک کننده گرفته می شود. طرح کلی یک راکتور بستر ثابت در شکل ۱ نشان داده شده است.



شکل ۱. توصیف طرح راکتور بستر ثابت

مشخصات اصلی بسترهای پرشده ثابت شامل نوع پرکن، نسبت ارتفاع به قطر ( $L/D$ ) و نسبت قطر لوله به قطر ذره ( $N = D/d_p$ ) می باشند. برای کاهش افت فشار در شدت جریان های بالا، قطر ذرات بزرگ انتخاب می شود، در حالی که قطر لوله به دلیل افزایش انتقال حرارت شعاعی نسبتاً کوچک در نظر گرفته می شود.

### رژیم های جریان در بسترهای پرشده ثابت

پدیده های فیزیکی و شیمیایی بر اثر جریان سیال در بسترهای پرشده ثابت توسط متغیرهایی از قبیل مشخصات فیزیکی سیال (دانسیته، ویسکوزیته، تراکم پذیری و تراکم ناپذیری)، اندازه، شکل و زبری ذرات تشکیل دهنده بستر، نگه دارنده بستر، نسبت قطر لوله به قطر ذرات کاتالیست و همچنین متغیرهای سینماتیکی از قبیل شدت جریان، فشار و دما و مشخصات مکانیکی از قبیل طراحی توزیع کننده ها تحت تاثیر قرار می گیرند. بستگی به شدت جریان و طبیعت محیط متخلخل، الگوهای متفاوت جریان با سیالات نیوتی در بسترهای پرشده ثابت مشاهده شده است. Dixon و همکارانش [۱۴] چهار رژیم جریان ارائه شده توسط Dybbs و Edwards، را در بسترهای ثابت به طریق آزمایشگاهی بررسی کردند. آنها چهار رژیم جریان را در گستره وسیعی از عدد رینولدز به شرح زیر بیان کردند:

- رژیم جریان دارسی یا خوشی (رژیم ویسکوز) که در عدد رینولدز کمتر از یک ( $Re < 1$ ) اتفاق می‌افتد. در این رژیم اثر نیروهای ویسکوز بیشتر از سایر نیروها است و افت فشار به‌طور خطی مناسب با سرعت درون شبکه می‌باشد.
- رژیم جریان آرام یکنواخت که در عدد رینولدز بین ۱ تا  $150 (Re < 150)$  اتفاق می‌افتد. در این حالت افت فشار به‌طور غیر خطی وابسته به سرعت درون شبکه می‌باشد.
- رژیم جریان آرام غیر یکنواخت که در عدد رینولدز بین  $150 < Re < 300$  ( $150 < Re < 300$ ) اتفاق می‌افتد. در این رژیم جریان، حالت‌های نوسانی در خلل و فرج بین ذرات آشکار می‌شوند و جریان‌های گردابی حدوداً در رینولدز  $250$  تشکیل می‌شوند.
- رژیم جریان کاملاً آشفته و غیر یکنواخت که در عدد رینولدز بیشتر از  $300 (Re > 300)$  اتفاق می‌افتد. این حالت از لحاظ کیفی مانند جریان آشفته درون لوله‌ها در حالت جریان متلاطم می‌باشد.

### افت فشار در بسترها پرشده ثابت

هنگامی که سیال از درون بستر کاتالیستی عبور می‌کند، با ذرات درون بستر برهم کنش نشان می‌دهد که سبب افت فشار آن می‌شود. افت فشار یکی از پارامترهای مهم برای طراحی و بررسی عملکرد بسترها پرشده می‌باشد. از این پارامتر برای تأیید شبیه سازی میدان جریان درون بستر استفاده می‌شود. افت فشار در بسترها پرشده بستگی به فضای خالی درون بستر، اندازه و شکل ذرات دارد. بررسی های آزمایشگاهی بسیار زیادی در زمینه افت فشار درون بسترها ثابت انجام شده است. از نخستین بررسی ها انجام شده در زمینه افت فشار درون بسترها ثابت می‌توان به کارهای انجام شده توسط Zhavoronkov [۱۵]، Carman [۱۶] و همکارانش [۱۷]، Reichelt [۱۸]، Ergun [۱۹] اشاره کرد. روابط تجربی به دست آمده توسط این محققان، افت فشار بر واحد طول بستر را بر حسب تابعی از سرعت، مشخصات هندسه بستر و خواص فیزیکی سیال بیان می‌کند.

Zhavoronkov و همکارانش [۱۶]، با انجام آزمایشات، رابطه درجه دوم زیر را برای گستره وسیعی از اعداد رینولدز بیان کردند:

$$\frac{dP}{L} = A \frac{\mu u}{d_p^2} \frac{(1-\varepsilon)^2}{\varepsilon^3} + B \frac{\rho u^2}{d_p} \frac{(1-\varepsilon)}{\varepsilon^3} \quad (1)$$

در بسترها ثابت با  $N < 10$ ، فضای خالی نزدیک دیوار و اصطکاک دیوار، اثر قابل ملاحظه‌ای روی افت فشار کل بستر دارند. Zhavoronkov و همکارانش، این اثرات را در روابط زیر در نظر گرفتند:

$$A = 163.35 A_w^2 \quad (1-1)$$

$$B = 1.2 B_w \quad (1-2)$$

$$A_w = B_w = 1 + \frac{1}{2(D/d_p)(1-\varepsilon)} \quad (1-3)$$

[۱۷]، رابطه نیمه تجربی، برای جریان کاملاً توسعه یافته در بسترهای ثابت، با ترکیب معادلات Ergun و Plummer، در رژیم جریان خوشی و معادله Burke و Carman و Kozeny زیر پیشنهاد کرد:

$$\frac{\Delta P}{L} = 150 \frac{\mu u}{d_p^2} \frac{(1-\varepsilon)^2}{\varepsilon^3} + 1.75 \frac{\rho u^2}{d_p} \frac{(1-\varepsilon)}{\varepsilon^3} \quad (2)$$

رابطه فوق، جریان آرام یا آشفته، برای حالت است که  $N > 10$  باشد. در این حالت تقریباً شرایط یکنواختی از نظر فضای خالی در تمام بستر وجود دارد.

[۱۸]، با در نظر گرفتن اثرات دیوار معادله Ergun Reichelt را به شکل زیر تصحیح کرد:

$$\frac{\Delta P}{L} = K_1 A_w^2 \frac{\mu u}{d_p^2} \frac{(1-\varepsilon)^2}{\varepsilon^3} + \frac{A_w}{B_w} \frac{\rho u^2}{d_p} \frac{(1-\varepsilon)}{\varepsilon^3} \quad (3)$$

در رابطه فوق:

$$A_w = 1 + \frac{2}{3(D/d_p)(1-\varepsilon)} \quad (3-1)$$

$$B_w = \left[ k_1 \left( d_p/D \right)^2 + k_2 \right]^2 \quad (3-2)$$

مقادیر  $K_1$ ،  $k_1$  و  $k_2$  در روابط فوق برای ذرات کروی درون بستر به ترتیب برابر  $1/15$ ،  $154$  و  $1/87$  می باشند.

[۱۹]، ضریب درگ را در بسترهای ثابت به شکل زیر تعریف کردند:

$$C_d = \frac{F_D / A_p}{(1/2)\rho u^2} \quad (4)$$

که:

$$F_D = \frac{\Delta P}{L} \frac{V_p}{(1-\varepsilon)} \quad (5)$$

ضریب درگ از ترکیب معادلات فوق و با فرض کروی بودن ذرات به شکل زیر بیان می شود:

$$C_d = \frac{(\Delta P / L)(d_p / 6)}{(1/2)\rho u^2 (1-\varepsilon)} \quad (6)$$

در روابط فوق،  $F_D$  نیروی درگ روی یک ذره،  $A_p$  سطح ذره و  $V_p$  حجم ذره می باشند.

## مدل سازی CFD بستر های پرشده ثابت معادلات انتقال ممنتوم<sup>۱</sup>

معادله بقای جرم<sup>۲</sup> (معادله پیوستگی) به شکل زیر تعریف می شود:

$$\frac{\partial \rho}{\partial t} + \frac{\partial(\rho u_i)}{\partial x_i} = 0 \quad (7)$$

معادله بقای ممنتوم<sup>۳</sup> در جهت  $i$  با رابطه زیر بیان می شود:

$$\frac{\partial(\rho u_i)}{\partial t} + \frac{\partial(\rho u_i u_j)}{\partial x_j} = -\frac{\partial P}{\partial x_i} + \frac{\partial}{\partial x_j} \left[ \mu \left( \frac{\partial u_i}{\partial x_j} + \frac{\partial u_j}{\partial x_i} \right) - \frac{2}{3} \mu \frac{\partial u_l}{\partial x_l} \right] + \frac{\partial(-\rho \bar{u}'_i \bar{u}'_j)}{\partial x_j} + \rho g_i \quad (8)$$

در این موازن P فشار استاتیکی،  $\mu$  ویسکوزیته مولکولی سیال و  $\rho g_i$  نیروی گرانش می باشند.

در معادله فوق، تنش های رینولدز،  $(-\rho \bar{u}'_i \bar{u}'_j)$ ، با فرضیه Boussinesq مدل می شوند:

$$(-\rho \bar{u}'_i \bar{u}'_j) = \mu_t \left( \frac{\partial u_i}{\partial x_j} + \frac{\partial u_j}{\partial x_i} \right) - \frac{2}{3} \left( \rho k + \mu_t \frac{\partial u_i}{\partial x_i} \right) \delta_{ij} \quad (9)$$

که ویسکوزیته آشفته،  $\mu_t$ ، بر حسب انرژی جنبشی آشفته،  $k$ ، و شدت پراکندگی آن،  $\epsilon$ ، تعریف می شود  
.[۱۴]

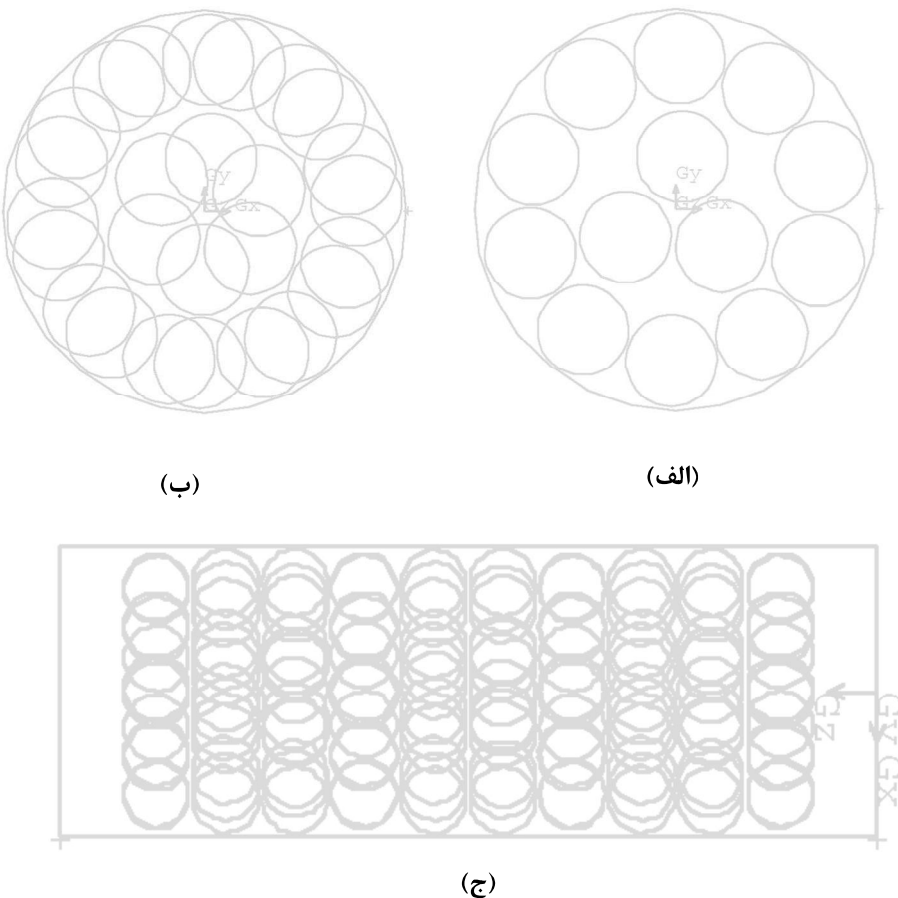
### هندسه محاسباتی و تولید شبکه

هندسه سه بعدی شامل ۱۳۰ ذره کروی به قطر ۵/۰ سانتیمتر در ۱۰ لایه بر اساس مدل پرکن گسسته (DPM) با نسبت قطر لوله به قطر ذره برابر ۶/۴ (N = 4.6) در شبیه سازی های CFD مورد بررسی قرار گرفت. ارتفاع بستر ثابت برابر ۷۵/۵ سانتی متر و فاصله ذرات از ابتدا و انتهای بستر برابر ۷۵/۰ سانتی متر در نظر گرفته شد. برای این که نتایج شبیه سازی ها به واقعیت نزدیک شوند، لایه های ذرات به فاصله ۰/۰۳ سانتی متری از یکدیگر درون بستر قرار گرفتند. شکل ۲ (الف) و (ب) آرایش دو بعدی ذرات درون بستر را در یک لایه و دو لایه نشان می دهد. برای این که جریان درون بستر حالت پلاگ داشته باشد و همچنین برای این که سیال به طور مستقیم از فضای بین ذرات خارج نشود، هر لایه نسبت به لایه زیری اش به اندازه ۶۰ درجه در خلاف جهت عقربه های ساعت حول محور بستر چرخیده شد. چیدمان تمام ذرات درون بستر در شکل ۲ (ج) نشان داده شده است.

<sup>1</sup> Momentum transport equations

<sup>2</sup> Continuity equation

<sup>3</sup> Momentum conservation equation



شکل ۲. نمایش مدل هندسه بستر ثابت: (الف) آرایش ذرات در یک لایه، (ب) آرایش ذرات در دو لایه، (ج) آرایش ذرات در طول بستر

از مش نامنظم تتراهیدرال، به دلیل پیچیدگی هندسه که ناشی از تعداد زیاد ذرات درون بستر می باشد، برای شبکه بندهی هندسه استفاده شد [۱۴].

### مشخصات سیال و شرایط مرزی

هوا به عنوان سیال در شبیه سازی های جریان سیال درون بستر ثابت انتخاب شد. ارتباط فشار- سرعت با استفاده از الگوریتم SIMPLE<sup>۱</sup> انجام شد. برای به دست آوردن دقیق تر نتایج از طرح آپ ویند مرتبه دو<sup>۲</sup> برای گسسته سازی جملات جابه جایی در معادلات ممنتوم و آشفتگی استفاده شد.

شرایط مرزی استفاده شده در حالت جریان پایا به شرح زیر می باشند:

- سرعت ثابت در ورودی بستر

<sup>۱</sup> Semi-Implicit Method for Pressure-Linked Equations

<sup>۲</sup> Second-order upwind scheme

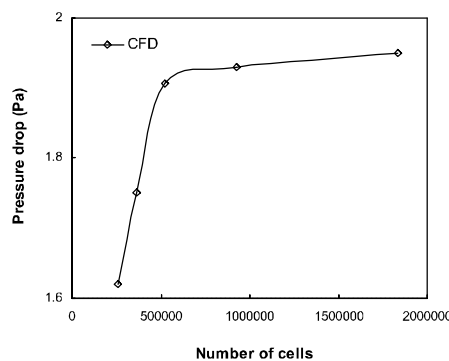
- فشار ثابت در خروجی بستر
- شرط عدم لغزش سرعت در سطح دیوار و ذرات

### نتایج و بحث

نتایج شبیه سازی های CFD با روابط تجربی در گستره وسیعی از عدد رینولدز، ۳/۸۵-۶۱۱/۷۹، جریان آرام و آشفته، در این قسمت مقایسه می شوند. از مدل آشفتگی  $k-e$  RNG در رژیم جریان آشفته استفاده شد. استفاده از این مدل به دلیل داشتن جمله اضافی  $R$  در معادله  $\epsilon$ ، سبب می شود تا مشخصات جریان از قبیل خمیدگی خطوط جریان، جریان های گردابی و چرخشی در هندسه های بسیار پیچیده مثل بسترها پرشده ثابت بهتر مدل شوند. برای درک بهتر جریان سیال تمام شبیه سازی ها در حالت سه بعدی انجام شدند.

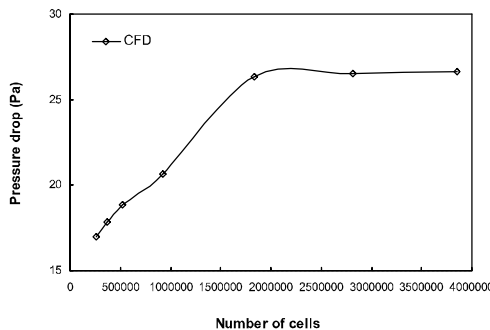
### حساسیت به اندازه شبکه

برای داشتن حل مناسب، باید حساسیت نتایج شبیه سازی به اندازه گره ها کنترل شود. برای همگرایی شبکه لازم است بعد از یک اندازه معین از گره ها، نتایج عددی با کاهش بیشتر اندازه شبکه تغییر چندانی نداشته باشند. این موضوع را برای دو رژیم جریان آرام و آشفته مورد بررسی قرار می دهیم. برای بررسی حساسیت نتایج به اندازه شبکه در رژیم جریان آرام، اندازه های شبکه برابر  $404,005,006,007$  و  $008$  در نظر گرفته شدند. همچنین فرض شد که سرعت سیال در ورودی برابر  $0/1461$  متر بر ثانیه باشد که معادل عدد رینولدز  $41/514$  می باشد. نتایج حاصل از شبیه سازی ها با اندازه های مختلف شبکه در شکل ۳ نشان داده شده اند. به طوریکه در شکل مشاهده می شود با انتخاب اندازه شبکه بزرگ، تعداد سلول های شبکه کاهش می باید که سبب می شود افت فشار به دست آمده نسبت به مقدار واقعی کمتر تخمین زده شود. اما با افزایش تعداد سلول های شبکه نتایج به مقدار واقعی نزدیک تر می شوند. همان طوری که در شکل مشاهده می شود، با افزایش تعداد سلول های شبکه به تعدادی بیشتر از  $524151$  تغییر قابل ملاحظه ای در مقدار افت فشار حاصل نمی شود.



شکل ۳. افت فشار درون بستر ثابت بر حسب تعداد سلول های شبکه در رژیم جریان آرام

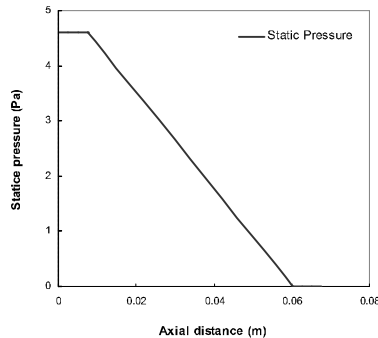
برای بررسی عدم وابستگی نتایج به اندازه شبکه در رژیم جریان آشفته، شبکه با اندازه های  $0/03$ ،  $0/02$ ،  $0/04$ ،  $0/05$ ،  $0/06$ ،  $0/07$  و  $0/08$  انتخاب شدند. هندسه مورد نظر برای مدل آشفته RNG k-e RNG با هر یک از این اندازه های شبکه مورد بررسی قرار گرفت. برای انتخاب مش بهینه، مجدداً افت فشار درون بستر به عنوان پارامتر مورد بررسی در نظر گرفته شد. همچنین فرض شد که سرعت سیال در ورودی برابر  $0/8764$  متر بر ثانیه باشد که معادل عدد رینولدز  $260/0381$  می باشد. با توجه به شکل ۴ مشاهده می شود که در اندازه شبکه کمتر از  $0/04$  تغییر محسوسی در نتایج افت فشار شبیه سازی شده حاصل نمی شود. به عبارت دیگر با ریزتر کردن اندازه سلول های شبکه به مقداری کمتر از  $0/04$  تغییر قابل ملاحظه ای در نتایج افت فشار حاصل نمی شود.



شکل ۴. افت فشار درون بستر ثابت بر حسب تعداد سلول های شبکه در رژیم جریان آشفته

#### بررسی اثرات سیال در ابتداء و انتهای بستر

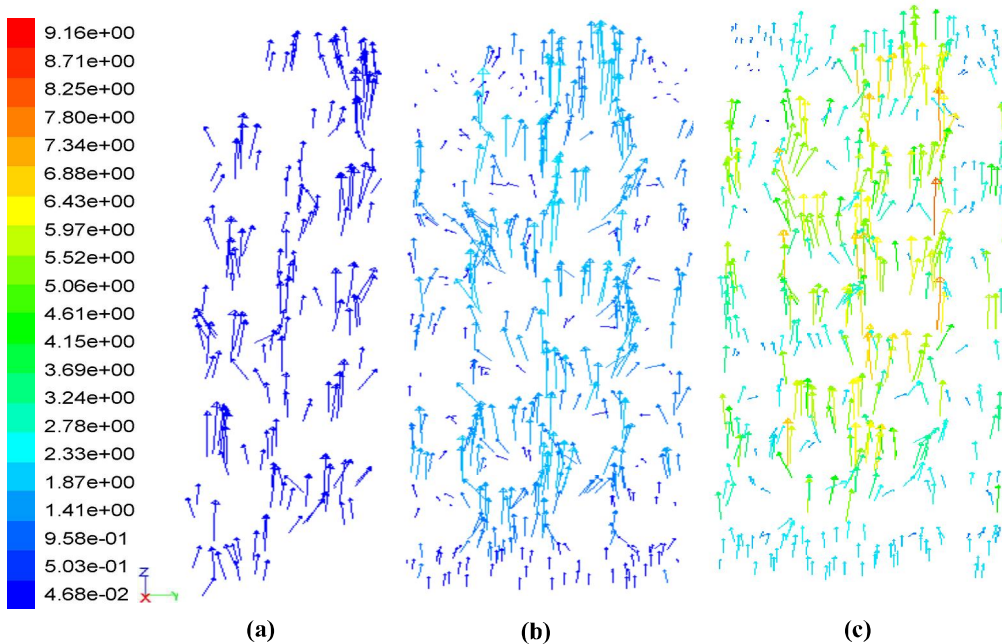
برای ایجاد حالت توسعه یافته‌گی جریان در ابتدای بستر و یا حذف گرادیان های سرعت در ورودی که سبب ناپایداری حل می شوند، فاصله ذرات درون بستر از ابتداء و انتهای آن  $0/25$ ،  $0/25$ ،  $0/25$ ،  $0/25$  و  $0/25$  سانتی‌متر در نظر گرفته شد. شبیه سازی ها برای هر کدام از این فاصله ها با مش بهینه انجام شدند. مشاهده شد که حالت توسعه یافته‌گی جریان در فاصله  $0/25$  سانتی‌متر از ابتدای بستر به دست می آید. چنین حالتی برای فاصله ذرات از ابتدای بستر که کمتر از  $0/25$  سانتی‌متر باشد، در شبیه سازی ها مشاهده نشد. پروفیل فشار استاتیکی در طول بستر برای عدد رینولدز  $84/438$  در شکل ۵ نشان داده شده است. با توجه به شکل مشاهده می شود که فشار در ابتداء و انتهای بستر ثابت است یعنی اثرات ابتدایی و انتهایی درون بستر وجود ندارد.



شکل ۵. پروفیل فشار استاتیکی در طول بستر در  $Re = 84.438$

## پروفیل بردارهای سرعت درون بستر ثابت

برای بررسی توزیع سیال درون بستر پرشده، بردارهای سرعت در یک صفحه دو بعدی برای سه عدد رینولدز  $611/84$  و  $127/84$  و  $3/85$  در شکل ۶ نشان داده می‌شوند. فضاهای باز در شکل سطوح ذرات می‌باشند که جریان سیال درون آن‌ها وجود ندارد. بردارهای سرعت بر اساس بزرگی‌شان به صورت رنگی نشان داده شده اند و طول بردار با اندازه بردار سرعت متناسب است. همچنین جهت بردارهای سرعت جهت جریان سیال درون بستر را نشان می‌دهد. به دلیل این‌که شبکه در نزدیک ذرات ریز می‌باشد، بردارهای بیشتری در این نقاط مشاهده می‌شوند. همان‌طوری که در شکل مشاهده می‌شود، سیال اطراف ذرات جریان می‌یابد و در شکاف بین ذرات شتاب می‌گیرد. مشاهده می‌شود که در رینولدز  $3/85$  بین ذرات گرداب تشکیل نمی‌شود، در حالی‌که در رینولدز  $127/84$  بین ذرات گرداب شروع به تشکیل شدن می‌کند. گرداب تشکیل شده در خروجی بستر سبب می‌شود جریان از بالای ذرات به سمت پایین حرکت کند که سبب جریان محوری به سمت پایین می‌شود. همچنین راه گزینی جریان در قسمت‌هایی از بستر که فضای خالی آن زیاد است، اتفاق می‌افتد. در شکل ۶(a)، سرعت‌های محلی درون بستر تقریباً با سرعت ظاهری برابر می‌باشند، اما سرعت‌های محلی درون بستر در شکل‌های ۶(b) و ۶(c) تقریباً  $10$  و  $3$  برابر سرعت ظاهری می‌باشند. به‌طوری‌که در شکل مشاهده می‌شود، نزدیک دیوار و در نقاط تماس، جریان سیال از نقاط دیگر درون بستر کمتر است. به دلیل سطوح محدود کننده جریان، راه گزینی جریان درون بستر مشاهده می‌شود که این پدیده با افزایش شدت جریان سیال افزایش می‌یابد. همچنین بر اثر برخورد سیال با ذرات درون بستر، جریان شعاعی از مرکز به سمت دیوار و نقاط ساکن در بعضی قسمت‌های بستر در شبیه‌سازی‌ها مشاهده شد.

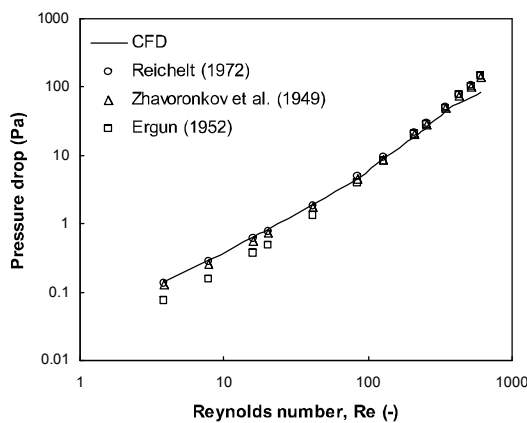


شکل ۶. پروفیل بردارهای سرعت درون بستر: (a)  $Re = 3.85$ , (b)  $Re = 127.84$ , (c)  $Re = 611.79$

## افت فشار درون بستر ثابت

اختلاف فشار بین پایین و بالای بستر، افت فشار درون بستر را نشان می‌دهد. افت فشار در بسترهای ثابت شامل اثرات اصطکاکی (جمله ویسکوز) و اینرسی (جمله جنبشی) می‌باشد، که به صورت خطی و غیر خطی (درجه دوم) به سرعت سیال واپسخواست. در بسترهای پرشده ثابت با  $N < 10$ ، اصطکاک دیوار اثر قابل ملاحظه‌ای روی افت فشار کل بستر دارد [۱۰].

نتایج افت فشار حاصل از شبیه سازی CFD با روابط تجربی ارائه شده توسط Zhavoronkov و همکارانش [۱۶]، Ergun [۱۷] و Reichelt [۱۸]، در رژیم جریان آرام و آشفته بر حسب عدد رینولدز در شکل ۷ مقایسه می‌شوند. با توجه به شکل مشاهده می‌شود که نتایج بدست آمده از شبیه سازی‌های CFD با داده‌های آزمایشگاهی همخوانی بسیار خوبی دارند. در  $150 < Re$  به دلیل اصطکاک دیوار یا اثرات نیروهای ویسکوز در دیوار (زیاد بودن ضخامت لایه مرزی)، مقادیر افت فشار شبیه سازی شده نسبت به معادله Ergun بیشتر و در  $Re > 150$  به دلیل راه گزینی جریان در بستر مقادیر افت فشار شبیه سازی شده کمتر از مقادیر رابطه Ergun می‌باشند؛ زیرا در جریان آشفته اثر اصطکاک دیوار به لایه مرزی کوچک محدود می‌شود، در واقع در این حالت ضخامت لایه مرزی کم است. بنابراین در جریان آشفته اثر اصطکاک دیوار نسبت به اثر تخلخل درون بستر ناچیز می‌باشد و اثر راه گزینی جریان از اهمیت بیشتری برخوردار است. همچنین با توجه به شکل مشاهده می‌شود که دقت رابطه Ergun نسبت به دو رابطه دیگر کمتر است؛ زیرا ثوابت رابطه Ergun برای تمام بسترهای پرشده با نسبت قطر لوله به قطر ذره مختلف ( $N$ ) ثابت می‌باشند، اما ثوابت در روابط Zhavoronkov و همکارانش و Reichelt تابعی از نسبت قطر لوله به قطر ذره می‌باشند که با تغییر این نسبت ثوابت این روابط تغییر می‌کنند.

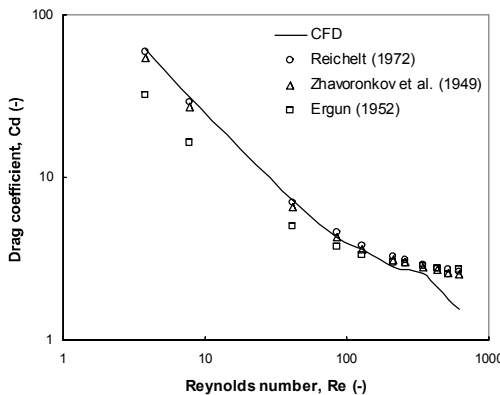


شکل ۷. افت فشار در طول بستر بر حسب عدد رینولدز

## ضریب درگ درون بستر ثابت

ضریب درگ شامل نیروهای درگ هیدرودینامیک روی ذرات و دیوار بستر می‌باشد. مقادیر ضریب درگ حاصل از شبیه سازی‌ها با ضریب درگ بدست آمده از معادلات Zhavoronkov و همکارانش، Ergun و

Reichelt، در شکل ۸ مقایسه می شوند. همان‌طوری که مشاهده می شود، ضریب درگ حاصل از شبیه‌سازی‌ها در رینولدزهای پایین نسبت به ضریب درگ محاسبه شده بر اساس روابط تجربی بیشتر است؛ زیرا ضخامت لایه مرزی در این حالت زیاد است و اثرات اصطکاک دیوار روی جریان نزدیک دیوار افزایش می یابد و افت فشار کل بستر را تحت تاثیر قرار می دهد. در رینولدزهای بالا ضریب درگ به علت کانالیزه شدن جریان، کاهش مقاومت در برابر جریان سیال، که سبب کاهش افت فشار می شود، نسبت به روابط تجربی کمتر است. به عبارت دیگر در رینولدزهای بالا که جریان آشفته است، اثر راه گزینی جریان بیشتر از اثر اصطکاک دیوار می باشد که سبب کاهش مقادیر ضریب درگ شبیه سازی شده در جریان آشفته نسبت به روابط تجربی می شود.



شکل ۸. ضریب درگ بر حسب عدد رینولدز

### نتیجه گیری

در این تحقیق، یک مدل سه بعدی دینامیک سیالات محاسباتی برای بررسی جریان سیال درون بسترهای ثابت ارائه شد. هندسه بستر ثابت با استفاده از روش پرکن گسسته مدل شد. به دلیل این که در این مدل ذرات به طور مجزا درون بستر قرار داده می شوند، اثرات برهم کنش بین ذرات و سیال بهتر مدل شدند. اثرات سیال در ورودی بستر با تغییر طول ابتدایی و انتهایی بستر مورد بررسی قرار گرفتند. مشخص شد که با انتخاب طول ابتدایی و انتهایی بستر برابر  $75/0$  سانتی‌متر حالت توسعه یافتنی در جریان ورودی به بستر به وجود آمد.

از روابط تجربی موجود در مراجع، روابط Reichelt [۱۶] و Ergun [۱۷] و همکارانش [۱۸]، برای تأیید نتایج شبیه سازی ها درون بستر ثابت در رژیم جریان آرام و آشفته استفاده شد. با توجه به نتایج به دست آمده مشخص شد که در رژیم جریان آرام بدلیل اثر اصطکاک دیوار و زیاد بودن ضخامت لایه مرزی نتایج شبیه سازی های CFD نسبت به معادله Ergun بیشتر تخمین زده شدند. در حالی که در رژیم جریان آشفته بدلیل راه گزینی جریان و کم بودن ضخامت لایه مرزی این مقادیر کمتر از رابطه Ergun

تخمین زده شدند. همچنین مشاهده شد که دقت رابطه Ergun نسبت به دو رابطه دیگر کمتر می‌باشد؛ زیرا ثوابت رابطه Ergun برای تمام بسترهای پرشده با نسبت قطر لوله به قطر ذره مختلف ( $N$ ) ثابت می‌باشد، اما ثوابت در روابط Zhavoronkov و همکارانش Reichelt تابعی از نسبت قطر لوله به قطر ذره می‌باشند که با تغییر این نسبت ثوابت این روابط تغییر می‌کنند.

مقادیر ضریب درگ حاصل از شبیه سازی‌ها با ضریب درگ به دست آمده از معادلات Zhavoronkov و همکارانش، Reichelt و Ergun، مقایسه شدند. مشاهده شد که ضریب درگ حاصل از شبیه‌سازی‌ها در رینولدزهای پایین نسبت به ضریب درگ محاسبه شده بر اساس روابط تجربی بیشتر می‌باشد؛ زیرا ضخامت لایه مرزی در این حالت زیاد است که سبب افزایش اثرات اصطکاک دیوار روی جریان نزدیک دیوار می‌شود. در رینولدزهای بالا ضریب درگ به علت کانالیزه شدن جریان نسبت به روابط تجربی کمتر تخمین زده شد؛ زیرا در رینولدزهای بالا اثر راه گزینی جریان بیشتر از اثر اصطکاک دیوار می‌باشد که سبب کاهش مقادیر ضریب درگ شبیه سازی شده نسبت به روابط تجربی در جریان آشفته می‌شود.

## علائم و نشانه‌ها

ضرایب در معادلات افت فشار  $A, B, A_w, B_w$

سطح ذره،  $m^2$   $A_p$

ضریب درگ  $C_d$

قطر ذره،  $m$   $d_p$

قطر لوله،  $m$   $D$

نیروی درگ روی یک ذره،  $kg \cdot m/s^2$   $F_D$

شتاب گرانش در جهت  $a$ ،  $m/s^2$   $g_i$

انرژی جنبشی آشفته،  $J/kg$   $k$

ثوابت معادله Reichelt  $K_1, k_2, k_l$

ارتفاع بستر یا طول لوله،  $m$   $L$

فشار استاتیک،  $Pa$   $P$

زمان،  $s$   $t$

سرعت ظاهری سیال،  $m/s$   $u$

مولفه سرعت نوسانی،  $m/s$   $u_i$

مولفه سرعت متوسط،  $m/s$   $\bar{u}_i$

حجم ذره،  $m^3$   $V_p$

مخصصه،  $m$   $x$

## حروف یونانی

افت فشار، Pa	$\Delta P$
شدت پراکندگی آشفته، J/kg.s	$\epsilon$
ضریب تخلخل بستر	$\epsilon$
ویسکوزیته مولکولی، Pa.s	$\mu$
ویسکوزیته آشفته، Pa.s	$\mu_t$
دانسیته، kg/m <sup>3</sup>	$\rho$

## منابع

1. Joshi J. and Ranade V., Computational fluid dynamics for designing process equipment: Expectations, current status, and path forward, *Industrial and Engineering Chemistry Research*, Vol. 42, 2003, pp 1115-1128.
2. Tobis J., Influence of bed geometry on its frictional resistance under turbulent flow conditions, *Chemical Engineering Science*, Vol. 55, 2000, pp 5359-5366.
3. Zeiser T., Lammers P., Klemm E., Li Y.W., Bernsdorf J. and Brenner G., CFD calculation of flow, dispersion and reaction in a catalyst filled tube by the Lattice Boltzmann method, *Chemical Engineering Science*, Vol. 56, 2001, pp 1697-1704.
4. Dixon A.G. and Nijemeisland M., CFD as a design tool for fixed-bed reactors, *Industrial and Engineering Chemistry Research*, Vol. 40, 2001, pp 5246-5254.
5. Calis H.P.A., Nijenhuis J., Paikert B.C., Dautzenberg F.M. and van den Bleek, C.M., CFD modeling and experimental validation of pressure drop and flow profile in a novel structured catalytic reactor packing, *Chemical Engineering Science*, Vol. 56, 2001, pp 1713-1720.
6. Tobis J., Modeling of the pressure drop in the packing of complex geometry, *Industrial and Engineering Chemistry Research*, Vol. 41, 2002, pp 2552-2559.
7. Freund H., Zeiser T., Huber F., Klemm E., Brenner G., Durst F. and Emig G., Numerical simulations of single phase reacting flows in randomly packed fixed-bed reactors and experimental validation, *Chemical Engineering Science*, Vol. 58, 2003, pp 903-910.
8. Magnico P., Hydrodynamic and transport properties of packed beds in small tube to sphere diameter ratio: Pore scale simulation using an Eulerian and a Langrangian approach, *Chemical Engineering Science*, Vol. 58, 2003, pp 5005-5024.
9. Gunjal P.R., Ranade V.V. and Chaudhari R.V., Computational study of a single phase flow in packed beds of spheres, *American Institute of Chemical Engineers Journal*, Vol. 51, 2005, pp 365-378.
10. Reddy R.K. and Joshi J.B., CFD modeling of pressure drop and drag coefficient in fixed and expanded beds, *Chemical Engineering Research and Design*, Vol. 86, 2008, pp 444-453.
11. Froment G.F. and Bischoff K.B., Chemical reactor analysis and design, 2<sup>nd</sup> Edition, Wiley, New York, 1990.
12. Jakobsen H.A., Chemical reactor modeling multiphase reactive flows, Springer-Verlag, Berlin Heidelberg, 2008.
13. Afandizadeh S.a., Design of packed bed reactors: Guides to catalyst shape, size, and loading selection, *Applied Thermal Engineering*, Vol. 21, 2001, pp 669-682.

14. Dixon A.G., Nijemeisland M. and Stitt E.H., Packed tubular reactor modeling and catalyst design using computational fluid dynamics, *Advances in Chemical Engineering*, Vol. 31, 2006, pp 307-389.
15. Carman P.C., Fluid flow through granular beds, *Transaction of the Institution of Chemical Engineering*, Vol. 15, 1937, pp 150–166.
16. Zhavoronkov N.M., Aerov M.E. and Umnik N.N., Hydraulic resistance and density of packing of a granular bed, *The Journal of Physical Chemistry*, Vol. 23, 1949, pp 342-361.
17. Ergun S., Fluid flow through packed columns, *Chemical Engineering Progress*, Vol. 48, 1952, pp 89–94.
18. Reichelt W., Zur Berechnung des Druckverlustes einphasig durchstroK mter Kugel und ZylinderschuK ttungen. *Chemie-Ingenieur-Technik*, Vol. 44, 1972, pp 1068-1071.
19. Pandit A.B., and Joshi J.B., Pressure drop in fixed, expanded and fluidized beds, packed columns and static mixers a unified approach, *Reviews in Chemical Engineering*, Vol. 14, 1998, pp 321–371.